УДК 531.382 : 629.78.015 <u>МЕХАНИКА</u>

А. А. ШИЛОВ

АНАЛИТИЧЕСКАЯ ОЦЕНКА ВЛИЯНИЯ ПОДВИЖНОСТИ МАЛОЙ ВНУТРЕННЕЙ МАССЫ НА КОЛЕБАНИЯ ТЕЛА ПРИ ТОРМОЖЕНИИ В АТМОСФЕРЕ

(Представлено академиком А. А. Дородницыным 23 III 1972)

В предположении, что взаимодействие аппарата и массы, движущейся по сфере внутри аппарата, подчиняется закону кулонова трения, проводится теоретический анализ природы демпфирующего эффекта от подвижного груза. Решение доводится до компактных аналитических выражений.

Введем три системы координат: 1) инерциальную lmn, 2) связанную с аппаратом Oxyz, 3) связанную с маятником $O'\xi\eta\zeta$, где O'- центр шарни-

ра (рис. 1).

Обозначая d/dt абсолютную производную, \widetilde{d}/dt — относительную производную в осях Oxyz, $\widetilde{\widetilde{d}}/dt$ — производную в осях $O'\xi\eta\zeta$, \mathbf{K}_0 — кинетический момент маятника около его центра масс, \mathbf{L} — кинетический момент

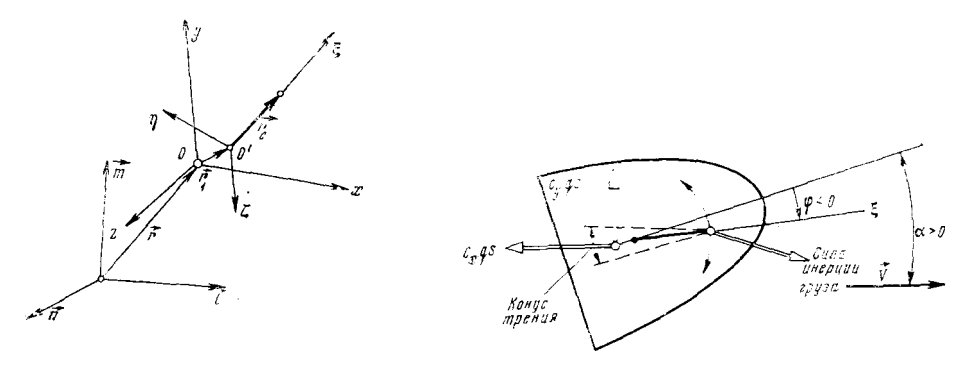


Рис. 1 Рис. 2

аппарата, \mathbf{F}_{p} , \mathbf{M}_{p} — силу и момент взаимодействия в шарнире соответственно, m,M; $\mathbf{G}_{\mathrm{r}},$ \mathbf{G}_{a} — массы и вес груза и аппарата; $\mathbf{M}_{\mathrm{a}},$ \mathbf{F}_{a} — аэродинамические момент и силу, действующие на аппарат, можно записать уравнения пространственного движения

$$\frac{\tilde{d}\mathbf{K}_{0}}{dt} + \boldsymbol{\omega}_{2} \times \mathbf{K}_{0} = \frac{\overline{m}}{1 + \overline{m}} (\mathbf{F}_{a} \times \mathbf{r}_{c}) - \frac{\overline{m}M}{1 + \overline{m}} \{\mathbf{r}_{c} \times [(\boldsymbol{\varepsilon}_{2} \times \mathbf{r}_{c}) + (\boldsymbol{\varepsilon}_{1} \times \mathbf{r}_{1}) + \boldsymbol{\omega}_{2} \times (\boldsymbol{\omega}_{2} \times \mathbf{r}_{c}) + \boldsymbol{\omega}_{1} \times (\boldsymbol{\omega}_{1} \times \mathbf{r}_{1})]\} + \mathbf{M}_{p}, \quad \overline{m} = m/M, \quad d\boldsymbol{\omega}_{2} / dt = \boldsymbol{\varepsilon}_{2}; \quad (1)$$

$$\frac{\tilde{d}\mathbf{L}}{dt} + \boldsymbol{\omega}_{1} \times \mathbf{L} = \mathbf{M}_{a} - \frac{\overline{m}}{1 + \overline{m}} (\mathbf{r}_{1} \times \mathbf{F}_{a}) - \frac{\overline{m}M}{1 + \overline{m}} \{\mathbf{r}_{1} \times [\boldsymbol{\varepsilon}_{2} \times \mathbf{r}_{c} + \boldsymbol{\varepsilon}_{1} \times \mathbf{r}_{1} + \boldsymbol{\omega}_{1} \times (\boldsymbol{\omega}_{1} \times \mathbf{r}_{1}) + \boldsymbol{\omega}_{2} \times (\boldsymbol{\omega}_{2} \times \mathbf{r}_{c})]\} - \mathbf{M}_{p}, \quad d\boldsymbol{\omega}_{1} / dt = \boldsymbol{\varepsilon}_{1}; \quad (2)$$

$$M \frac{d\mathbf{V}}{dt} = \mathbf{F}_{a} + \mathbf{G}_{a} + \mathbf{F}_{p}, \quad m \left(\frac{d^{2}\mathbf{r}}{dt^{2}} + \frac{d^{2}\mathbf{r}_{c}}{dt^{2}}\right) = \mathbf{G}_{r} - \mathbf{F}_{p}. \quad (3)$$

Кинематические уравнения имеют вид $d\|l\|/dt = \|l\| \cdot \|\omega_1\|$, где $\|\omega_1\| -$ матрица вращений анпарата, $\|l\|$ — матрица перехода из осей Oxyz в оси Imn с элементами $l_xl_y \dots n_yn_z$ построчно; $d\|\mu_v\|/dt = \|\mu_v\|\|\omega_2\| + \|\nu_\mu\|\|\omega_1\|$. где $\mu = x,\ y,\ z,\ \nu = \xi,\ \eta,\ \xi,\ \tau.\ e.\ r_c = \mathbf{r}_c(x_\xi,\ y_\xi,\ z_\xi)$, а $x_iy_iz_i$ — направляющие косинусы ортов осей Oxyz в осях $O'\xi\eta\xi\colon x_\xi,\ x_\eta,\ x_\xi\dots z_\eta,\ z_\xi$ построчно в

 $\|\mathbf{v}_{\mu}\|$, $\|\mathbf{v}_{\mu}\| = \|\mathbf{\mu}_{\nu}\|^{T}$. В случае плоского движения $\varepsilon_{2\xi}$, $\varepsilon_{2\eta}$, $\omega_{2\xi}$, $\omega_{2\eta}$, ε_{4x} , ε_{4y} , ω_{4x} , ω_{4y} равны нулю.

Будем считать груз точкой, опустим индексы 1 и 2 и запишем

$$M_{p} = r_{c} f N \operatorname{sign} \dot{x}_{n}, \quad N = (\mathbf{F}_{p} \cdot \mathbf{r}_{c}),$$

$$F_{ax} = -C_{\tau}(\alpha) qS, \quad F_{ay} = C_{n}(\alpha) qS, \quad M_{az} = m_{z}^{\alpha} qSL\alpha + m_{z}^{\bar{\omega}_{z}} \frac{qSL^{3}}{V} \omega_{z}.$$

$$(4)$$

q — скоростной напор, α — угол атаки, f — коэффициент трения, $C_n{}^{\alpha}$, $m_z{}^{\alpha}$ = = const, $\sin \varphi = y_{\xi} = -x_{\eta}$, $\cos \varphi = x_{\xi} = y_{\eta}$ (рис. 2).

Описываемая механическая система может находиться в двух режимах движения: а) $-y_{\xi} = x_{\eta} = \mathrm{const}$, б) $x_{\eta} \neq \mathrm{const}$ в соответствии с условиями скольжения или покоя точки с массой m на дуге радиуса r_c .

При покое массы т в осях Охуг

$$\left[I_{z} + \frac{\overline{m}M}{1 + \overline{m}} (r_{1}^{2} + r_{c}^{2} + 2r_{1}r_{c}\cos\varphi)\right] \varepsilon_{z}^{\pi} =
= M_{az} - \frac{\overline{m}}{1 + \overline{m}} \left[F_{ay} (r_{1} + r_{c}y_{\eta}) + r_{c}x_{\eta}F_{ax}\right],$$
(5)

$$M_{\mathrm{p}}^{\mathrm{II}} = M_{\mathrm{a}z} - \frac{\overline{m}}{1+\overline{m}} [r_1 F_{\mathrm{a}y} - M r_{\mathrm{c}} r_1 \omega_z^2 y_{\xi}] - \varepsilon_z^{\mathrm{II}} \left[I_z + \frac{\overline{m}M}{1+\overline{m}} \left(r_1 + r_{\mathrm{c}} \cos \varphi \right) r_1 \right].$$

При скольжении массы т

$$\left[I_{z} + \frac{\overline{m}M}{1 + \overline{m}} (1 - x_{\xi}y_{\eta}) r_{1}^{2} + (r_{c} + r_{1}y_{\eta}) r_{1}y_{\xi} \frac{mf}{1 + \overline{m}} \operatorname{sign} \dot{\varphi}\right] \varepsilon_{z}^{\pi} =
= M_{az} - \frac{\overline{m}}{1 + \overline{m}} \left[r_{1} (1 - y_{\eta}^{2}) F_{a\eta} - x_{\eta}y_{\eta} F_{ax} r_{1} - Mr_{c}r_{1}\omega_{\xi}^{2}y_{\xi} + Mr_{1}^{2}y_{\eta}x_{\eta}\omega_{z}^{2}\right] -
- (r_{c} + r_{1}y_{\eta}) \frac{f \operatorname{sign} \dot{\varphi}}{1 + \overline{m}} \left[\overline{m} (F_{ax}x_{\xi} + F_{ay}y_{\xi}) - mr_{1}\omega_{z}^{2}x_{\xi} - mr_{c}\omega_{\xi}^{2}\right], \tag{6}$$

$$M_{p}^{\pi} = r_{c} \frac{\overline{m}f \operatorname{sign} \dot{\varphi}}{1 + \overline{m}} \left[F_{ax}x_{\xi} + F_{ay}y_{\xi} + M\varepsilon_{z}^{\pi}r_{1}y_{\xi} - Mr_{1}\omega_{z}^{2}x_{\xi} - Mr_{c}\omega_{\xi}^{2}\right].$$

Видно, что $\dot{\phi} = \omega_{\xi} - \omega_{z}$, а величину ε_{ξ}^{π} надо определять с помощью уравнения вида (1).

Движение массы m по дуге радиуса r_c начинается в тот момент, когда момент реакции покоя M_p сравнивается с максимальным моментом сцепления при сухом трении. Движение массы m относительно аппарата заканчивается, когда ϕ обращается в нуль, при этом $M_p(t)$ терпит разрыв.

При малых углах φ и α , пренебрегая силой веса (что обычно делают, рассматривая полет скоростных аппаратов), уравнения сил можно записать в виде

$$\frac{d\alpha}{dt} = \omega_z - \frac{C_y^{\alpha}qS\alpha}{MV(1+\overline{m})} - \frac{\overline{m}C_{\tau}qS\varphi}{(1+\overline{m})MV} + \frac{M_p}{r_cMV} - \frac{\overline{m}}{1+\overline{m}}F_{ay}\frac{1}{MV}, \qquad (7)$$

где $C_y{}^\alpha = C_n{}^\alpha - C_\tau(0)$. Можно считать, что сила сухого трения приложена к грузу в точке на дуге радиуса r_c . Если пренебречь силами инерции, пропорциональными $d^2\phi/dt^2$, то вынужденные колебания $\phi(t)$ при $\overline{m} \ll 1$ будут носить квазистатический характер и состоять из последовательных отрезков покоя и скольжения груза в таком положении $\phi(t)$, когда действующая сила инерции от движения аппарата по траектории и вращения аппарата $\alpha(t)$ проходит по образующей конуса трения; тогда $\phi(t)$ может быть выражено через $\alpha(t)$.

Для анализа обратного влияния движения груза на движение аппарата выделим в уравнениях (5)-(7) члены, содержащие \overline{m} , φ , α только в первых степенях, в частности, полагая

$$\left[I_z + \frac{\overline{m}M}{1+\overline{m}}(r_1+r_c)^2\right]\varepsilon_z = I_z\varepsilon_z + \overline{m}M(r_1+r_c)^2\varepsilon_z\Big|_{\overline{m}=0} + O(\overline{m}^2).$$

При квазистатическом скольжении груза $M_{p}^{\pi} = M_{p}^{\pi}$, т. е. при заданном $\alpha(t)$ функция $\phi(t)$ определяется из соотношения

$$F_{\rm ax} \varphi = F_{\rm ay} + \frac{M (r_1 + r_c)}{I_z} M_{\rm az} - f F_{\rm ax} \operatorname{sign} \dot{\varphi}. \tag{8}$$

При принятой модели движения груза можно установить, что выражения содержащее φ и M_p в правой части уравнения (7), имеет один и тот жевид как в случае покоя, так и в случае движения груза, при малых \overline{n} , α , φ :

$$\frac{d\alpha}{dt} = \omega_z - C_y^{\alpha} \frac{qS}{MV} \frac{\alpha}{1 + \overline{m}} + \frac{\overline{m} (r_c + r_1)}{V} \frac{M_{az}}{I_z}. \tag{6}$$

Уравнение моментов запишем с помощью (8) в виде

$$I_z \frac{d\omega_z}{dt} = m_z^{\alpha} q S L \alpha + m_z^{\overline{\omega}_z} \frac{q S L^2}{V} \omega_z - \overline{m} r_1 \left[C_n^{\alpha} q S + \frac{M (r_1 + r_c)}{I_z} m_z^{\alpha} q S L \right] \alpha - M_p^{\alpha \phi}.$$
(10)

$$M_{\mathrm{p}}^{\circ \Phi} = egin{cases} - ar{m} r_c f C_{ au} q S \operatorname{sign} \dot{\phi}, \ ar{m} r_c \left\lceil C_n^{lpha} lpha + rac{M \left(r_1 + r_c
ight) L}{I_z} m_z^{lpha} lpha + C_{ au} \phi_{\mathrm{a}m}
ight
ceil q S, \end{cases}$$

где ϕ_{am} — последнее пройденное максимальное отклонение $\phi(t)$, взятое с учетом знака.

Для решения системы (9), (10) можно использовать метод усреднения (1). За невозмущенное примем решение уравнений при $q,\ V={\rm const}:\ m_z{}^\alpha,\ C_y{}^\alpha,\ M_p{}^{\beta\Phi}=0$:

$$\alpha = A \cos \psi; \quad \omega_z = -\lambda A \sin \psi, \quad A > 0,$$

$$\psi = \psi_0 + \int_{S}^{t} \lambda \, dt, \quad \lambda^2 = -\frac{m_z^\alpha \, qSL}{I_z} + \frac{\overline{m}r_1}{I_z} \left(C_n^\alpha + \frac{M \, (r_1 + r_c) \, L}{I_z} \, m_z^\alpha \right) qS.$$
(11)

При $m_z^{\omega_z}$, $C_y{}^{\alpha}=\mathrm{const}\neq 0$, $M_p{}^{\flat \varphi}\neq 0$, $q=q(\tau)$; $V=V(\tau)$, где $\tau=\epsilon t$, $\epsilon-$ малый параметр, будем искать $A=A(\tau)$, $\psi_0=\psi_0(\tau)$.

Усредняя производные $dA \mid d au$, $d\psi_{\scriptscriptstyle 0} \mid d au$ по периоду $\psi(t)$, получим

$$\frac{dA}{d\tau} = -\frac{A}{2} \left[C_y^{\alpha} \frac{qS}{V(m+M)} - \frac{\overline{m} (r_1 + r_c) L}{I_z V} m_z^{\alpha} qS \right] + \frac{A}{2} m_z^{\overline{\omega}_z} \frac{qSL^2}{I_z V} - \frac{A}{2\lambda} \frac{d\lambda}{d\tau} + \frac{1}{2\pi I_z \lambda} \int_{\Sigma}^{2\pi} M_p^{\partial \Phi} \sin \psi \, d\psi, \quad A \frac{d\psi_0}{d\tau} = \frac{1}{2\pi I_z \lambda} \int_{\Sigma}^{2\pi} M_p^{\partial \Phi} \cos \psi \, d\psi. \quad (12)$$

Учитывая (10), легко получить

$$\int_{0}^{2\pi} M_{\rm p}^{\circ \Phi} \sin \psi \, d\psi = -4M_{\rm p \, max}^{\circ \Phi} \overline{A}_{c}, \tag{13}$$

где A_c — значение $\alpha(t)>0$, при котором $M_{\rm p}{}^{\circ\phi}=0$,

$$M_{\mathrm{p\,max}}^{\mathrm{o}\Phi} = \bar{m}r_{c}fC_{\tau}qS; \quad \frac{A_{c}}{A} = \bar{A}_{c} = 1 - fC_{\tau}\left(\left(C_{n}^{\alpha} + \frac{M\left(r_{1} + r_{c}\right)L}{I_{z}}m_{z}^{\alpha}\right)A\right)^{-1} > 0.$$

$$\int\limits_{0}^{2\pi} M_{
m p}^{
ho \Phi} \cos \psi \, d\psi = ar{m} r_{
m c} f C_{ au} q S \, rac{\psi_1 - 1/2 \sin 2\psi_1}{\sin^2 1/2 \, \psi_1} \, ,$$

где $\psi_1=2 {
m arc \ cos \ } (\bar{A}_c)^{\eta_2},$ т. е. при $\psi=\psi_1$ момент $M_p^{a\phi}$ принимает значение $-M_p^{a\phi}$.

Амилитудное значение $\varphi(t)$, соответствующее моменту $\alpha(t) = A > 0$. может быть определено по формуле

$$C_n^a A + \frac{M(r_1 + r_c) L}{I_z} m_z^a A + C_\tau \varphi_{am} = f C_\tau;$$
 (15)

откупа, принимая $q_{am}=0$, можно определить минимальное значение A_{min} , при котором груз будет выходить на режим скольжения. Величина A_{min}

зависит от распределения нормальных ускорений вдоль оси аппарата и расположения точки подвеса маятника (r_1 может быть отрицательным). Видно, что A_{\min} уменьшается при смещении точки подвеса к хвосту аппарата ($r_1 < 0$).

Из (14) видно, что $d\psi_0/d\tau > 0$, так как правая часть (14) с уменьшением A растет, вследствие чего растет и $d\psi_0/d\tau$, т. е. с уменьшением A период колебаний $\alpha(t)$ получает тенденцию к уменьшению, а влияние скольжения груза дает уменьшение статической устойчивости (роль скольжения растет с ростом A). Из (12), (13) видно, что при $\overline{A}_c > 0$ груз обеспечивает демпфирование.

Если иметь в виду различные аппараты, то оценить влияние подвижности груза можно, умножив последнее слагаемое в первом уравнении (12) на величину мгновенного периода колебаний $T(\tau) = 2\pi/\lambda$, где $\lambda^2 = -|m_{z*}^2| qSL/I_z$ (см. (11)):

$$\Delta \left(\frac{dA}{d\tau}\right) \frac{2\pi}{\lambda} = -4\overline{m}\overline{r}_{c}f \frac{C_{\tau}}{\mid m_{z^{*}}^{\alpha}\mid} \left[1 - \frac{fC_{\tau}}{A\left(C_{n}^{\alpha} + \frac{M(r_{1} + r_{c})L}{I_{z}} m_{z}^{\alpha}\right)}\right].$$
(16)

В последнем выражении при фиксированном A существует оптимальная величина f, дающая абсолютной величине (16) максимум. Изменяя r_c при A, f = const, то можно также максимизировать абсолютную величину выражения (16) *, выбирая $r_c = r_c^*$:

$$\frac{r_c^* + r_1}{I_z} M L m_z^{\alpha} + C_n^{\alpha} = + \sqrt{\frac{iC_{\tau}}{A} \left(C_n^{\alpha} + \frac{r_1 L M}{I_z} m_z^{\alpha} \right)}.$$

Выражение в квадратной скобке (16) предельно упрощается, если $r_1+r_c=0$ (если груз располагается вблизи центра масс аппарата). Для сферического аппарата $C_n^{\alpha}=C_{\tau}(0)$, тогда в скобке (16) остается лишь угол полураствора конуса трения и амилитуда колебаний. Скорость уменьшения $A(\tau)$ возрастает с ростом коэффициента трения f, но при этом возрастает амплитуда колебаний A_{\min} , ниже которой демифирование от груза исчезает **.

Из (16) видно, что при $r_1+r_c>0$, $m_z{}^\alpha<0$ демифирование убывает с ростом r_1 . Величину $m_z{}^\alpha$ можно выразить через запас статической устойчивости $\overline{\Delta x}>0$ и $C_n{}^\alpha$ ($m_z{}^\alpha=-\overline{\Delta x}C_n{}^\alpha$, $\overline{\Delta x}(\alpha)=\mathrm{const}$), тогда для устойчивости необходимо при $C_n{}^\alpha>0$ и $A>A_{\min}$:

$$\bar{r}_c + \bar{r}_1 < \bar{r}_z^2 / \overline{\Delta x}, \quad \bar{r}_z^2 = I_z / (ML^2).$$
 (17)

При малом запасе устойчивости это соотношение легко выполняется.

Как видно, вклад влияния подвижности груза на скорость изменения амплитуды колебаний аддитивен с обычными эффектами от $C_y{}^{\alpha}$, $m_z^{\overline{\alpha}z}$ и переменности частоты колебаний по времени (2).

Анализ влияния подвижности груза на $dA/d\tau$ и $d\psi_0/d\tau$ допускает простую интерпретацию. Поскольку подвижность груза приводит к уменьшению статической устойчивости, то груз создает дестабилизирующий позиционный момент на аппарат. Но из-за действия трения этот момент запаздывает по отношению к $\alpha(t)$ и, таким образом, эквивалентен опережающему стабилизирующему моменту, который и создает демпфирование.

 Центральный аэрогидродинамический институт им. Н. Е. Жуковского Москва
 Поступило 7 III 1971

ЦИТИРОВАННАЯ ЛИТЕРАТУРА

¹ Н. Н. Боголюбов, Ю. А. Митропольский, Асимптотические методы в теории нелинейных колебаний, 1963. ² G. E. Kuzmak, V. A. Jaroshevski, Application of the Asymptotic Methods to Some Problems of the Re-Entry Vehicles Dynamics. Proc. XIV IAF Congress, Paris, 1963.

^{*} При $r_1 + r_c =$ const увеличение r_c повышает степень затухания колебаний (16). ** Полученная оценка дает заниженное значение степени затухания колебаний; точность формул (12)—(16) лучше, если A в несколько раз больше f, так как при этом инерционное приращение амилитуды φ мало по сравнению с $|\varphi_{am}|$ в (15).